

تعیین پارامترهای بهینه در حذف فنل از پساب صنایع با استفاده از پر شترمرغ

محمد منشوری^۱، احمد رضا یزدانبخش^۲، هستی دارائی^{۳*}

چکیده

زمینه و هدف: فنل از جمله آلاینده‌های آلی موجود در پساب صنایع بوده که به شدت برای انسان و محیط زیست سمی می‌باشد. هدف از این مطالعه کاربرد پر شترمرغ به عنوان منبع طبیعی از اسید آمینه‌های فعال برای حذف فنل از محلول‌های آبی است.

روش بررسی: در این مطالعه از پر شترمرغ به عنوان یک جاذب جدید برای حذف فنل در وزن‌های ۰/۲، ۰/۳، ۰/۵، ۰/۷، ۱ و ۱/۵ گرم در ۱۰۰ میلی لیتر استفاده شد و تغییرات اثر زمان، pH، مقدار جاذب و دما در حین فرایند حذف و همچنین تبعیت فرایند جذب از معادلات فرونالیش و لانگمیرمورد بررسی قرار گرفت و از نرم‌افزار Excel برای تجزیه و تحلیل داده‌ها استفاده شد.

یافته‌ها: نتایج به دست آمده معلوم کرد که با افزایش مقدار ماده جاذب از ۰/۲ تا ۰/۷ g میزان جذب افزایش می‌یابد. جذب فنل با افزایش مقدار pH محلول کاهش می‌یابد. همچنین این نتیجه به دست آمد که افزایش زمان تماس تأثیر ویژه‌ای (۷۰درصد) در میزان جذب از محلول دارد.

نتیجه‌گیری: به طور کلی، این جاذب به صورت موفق آمیزی برای تصفیه نمونه‌های آبی صنعتی و محلول‌های آبی می‌تواند به کار رود.

کلید واژگان: اسید آمینه، پر شترمرغ، جاذب، فنل.

- ۱- استادیار گروه بهداشت محیط.
- ۲- دانشیار گروه بهداشت محیط.
- ۳- کارشناس ارشد مهندسی بهداشت محیط.

- ۱- گروه بهداشت محیط، دانشکده بهداشت، دانشگاه علوم پزشکی شهید بهشتی، تهران، ایران.
- ۲- گروه بهداشت محیط، دانشکده بهداشت، دانشگاه علوم پزشکی شهید بهشتی، تهران، ایران.

*نويسنده مسؤول:
هستی دارائی؛ گروه بهداشت محیط،
دانشکده بهداشت، دانشگاه علوم پزشکی
شهید بهشتی، تهران، ایران.
تلفن: ۰۰۹۸۹۱۶۳۶۱۱۸۳۹
Email:hasti.daraei@yahoo.com

مقدمه

گرفته شد تا از دیگر مواد زائدی همچون پر ماکیان به عنوان یک جاذب استفاده شود (۵). در حقیقت، پرماکیان از جمله جاذب‌های طبیعی هستند که می‌توانند برای تصفیه آب به کار گرفته شوند و در مقادیر زیادی به عنوان یک ماده زائد در مرغداری‌ها و کشتارگاه‌ها تولید می‌شوند (۶). بر عکس کربن فعال، پر یک ماده ارزان قیمت بوده که به راحتی نیز در دسترس می‌باشد (۷). موفقیت در کاربرد پر مرغ در آلودگی زدایی از فاضلاب به ارزش این ماده زائد تولیدی افزوده است. پرهای مرغ همچنین برای جذب زیستی یون‌های فلزات با ارزشی همچون طلا و پلاتینیوم به کار گرفته شده است (۸). با توجه به اطلاعات موجود تحقیق حاضر با هدف بررسی امکان کاربرد پر شترمرغ به عنوان یک جاذب برای حذف آلاینده آلی همچون فنل انجام شد.

روش بررسی

پرهای شترمرغ از مراکز پرورش شترمرغ تهیه و جمع‌آوری شد. سپس آنها چندین بار با آب و دترجنت شسته شده و در نهایت پرها مجدداً با آب مقطر شستشو داده شدند. در مرحله بعدی پرها در دمای اتاق خشک شدند. سپس ساقه‌های خشک پرها از آنها جدا و ریش-های نرم آنها بریده شده و سپس به اندازه‌های حدود $0/3$ سانتی‌متر خرد شدند. ماده به دست آمده سپس برای کاربرد در این تحقیق نگهداری شد. فنل مورد استفاده در این تحقیق برای تولید غلظت مشخصی از آلودگی در آب، از شرکت مرک آلمان و به صورت جامد، با درجه خلوص ۹۹ تا 100 درصد برای آنالیزهای آزمایشگاهی می‌باشد. به همین منظور ابتدا طبق استاندارد متدهای دست آوردن میزان جذب مناسب، غلظت‌های استانداردی از فنل ($0/1$ ، $0/2$ ، $0/3$ ، $0/4$ و $0/5$ می‌لی گرم در لیتر) تهیه و به دستگاه اسپکتروفتومتر داده شده و در طول موج 500 nm قرائت شد. در مرحله بعد یک محلول استوک 100 mg/L تهیه و در ظرف شیشه‌ای قهوه‌ای رنگ و در

امروزه حضور فنل و مشتقات آن در آب و فاضلاب بدليل خطراتی که بر روی سلامت انسان و محیط دارد به عنوان یک نگرانی عمده محسوب می‌شود. فنل به صورت طبیعی در نتیجه تجزیه آلک‌ها و گیاهان وارد محیط می‌شود اما حضور این ماده در آبهای سطحی عمدتاً در نتیجه آلودگی ناشی از فاضلاب‌های صنعتی می‌باشد (۱). فنل و ترکیبات آن بطور گسترده‌ای به عنوان آلاینده‌های محیطی در محیط منتشر می‌شوند. تصفیه فاضلاب‌های صنعتی آلوده شده با ترکیبات فنلی یک مشکل عمده جدی می‌باشد. این آلاینده آلی در غلظت‌های گوناگون از طریق فاضلاب صنایع پتروشیمی، تولید رزین و پلاستیک، کاغذ، پالایشگاه نفت، صنعت فولاد و آفت‌کش یافت می‌گردد (۲). فنل یک هیدروکربن آروماتیک و از مشتقات بنزین می‌باشد که در آب حلایلی بالایی دارد و پس از حل شدن در آب به آن خاصیت اسیدی می‌دهد. با توجه به اینکه این آلاینده یک ماده سمی بوده و کاهش و حذف بیولوژیکی آن مشکل می‌باشد، لذا استانداردهای سخت گیرانه‌ای برای تخلیه مواد فنل دار به محیط زیست در نظر گرفته شده است (۳). ترکیبات فنل همچنین می‌توانند با کلر حاصل از کلرینه کردن آب، ترکیبات فنلی کلردار تولیدکننده که این عملیات باعث ایجاد طعم و بوی نامطلوب در آب نماید (۳). با توجه به این مشکلات حذف این نوع از ترکیبات آلی از فاضلاب صنایع شیمیایی و پتروشیمی، یکی از اجزای لازم و ضروری در سیستم‌های تصفیه فاضلاب این صنایع به شمار می‌رود (۴). در طی دو دهه اخیر تحقیقات زیادی در ارتباط با جذب مواد آلی با قابلیت تجزیه‌پذیری پایین صوت گرفته است. هدف اصلی این تحقیقات، تشخیص یک ماده جاذب موثر و ارزان قیمت جهت حذف آلاینده‌های آلی از محلول‌های آبی است (۵). به طوری که در طی سالیان گذشته جهت حذف آلاینده‌های خطرناک از آب و فاضلاب بر روی کاربرد زائدات صنعتی و کشاورزی به عنوان جاذب‌های بالقوه تمرکز شد. در این راستا تصمیم

آمده از نمودار بیشترین درصد حذف فنل در دمای 30°C می باشد.

تأثیر مقدار ماده جاذب بر روی کارایی حذف: در سیستم مورد مطالعه با تغییر در دوز جاذب (0.03 ، 0.05 ، 0.07 ، 0.1 و 0.15 گرم بر 100 میلی لیتر) و $\text{pH}=2$ غلظت اولیه فنل 15 mg/L در زمان 8 ساعت بررسی شد. نمودار 3 تأثیر مقدار ماده جاذب را بر روی کارایی حذف نشان می دهد. همانطور که از نمودار پیداست با افزایش مقدار ماده جاذب تا حد معینی میزان جذب فنل بالا می رود.

تأثیر زمان تماس بر روی حذف فنل: تأثیر زمان تماس بر روی کارایی حذف در سیستم مورد مطالعه با تغییر در زمان تماس از 0.05 ساعت تا 24 ساعت در $\text{pH}=2$ مقدار ماده جاذب 0.07 g در 100 mL لیتر و غلظت اولیه فنل 15 mg/L بررسی شد. نمودار 4 تأثیر زمان تماس بر روی کارایی حذف را نشان می دهد. همان طور که از نمودار مشاهده می شود با افزایش زمان تماس میزان حذف بالا می رود. بطوری که برای دوز 0.07 گرم از جاذب در زمان 0.05 ساعت حداقل حذف فنل (10 درصد) و در 24 ساعت حداقل میزان حذف فنل (70 درصد) مشاهده می گردد.

تأثیر غلظت اولیه فنل بر میزان حذف آن: تأثیر غلظت اولیه فنل در حذف آن با کاربرد 5 غلظت اولیه (1 ، 5 ، 15 و 25 میلی گرم در لیتر از فنل بررسی گردید. نتایج این بررسی در نمودار 5 نشان داده است.

ایزووترم های جذب فنل (فروندلیچ و لانگمیر): در این مطالعه از مدل های ایزووترم فروندلیش و لانگمیر برای بیان ارتباط بین مقدار فنل جذب شده و غلظت تعادلی آن در محلول استفاده شده است. نتایج مربوطه در نمودارهای 6 و 7 نشان داده شده است.

همچنین ثابت های این دو ایزووترم در جدول 1 ارائه شده است. با توجه به نتایج حاصله مشاهده می شود که جذب فنل بر روی پرشتر مرغ بخوبی از ایزووترم فروندلیش ($0.098 > 0.05$) تبعیت می کند

یخچال نگهداری شد و در مراحل بعدی آزمایش از محلول استوک مذکور برای تهیه نمونه های آب آلوده به فنل با غلظت های مورد نیاز جهت آزمایش ها با رقیق سازی به کمک آب مقطر استفاده شده است. سپس نمونه های تهیه شده برای تعیین پارامترهای بهینه مؤثر در این آزمایش شامل دما، pH ، زمان و غلظت ماده جاذب مورد آنالیز قرار گرفتند. برای این منظور ابتدا آزمایش با یک غلظت ثابت و مشخص از فنل انجام شده و برای هر یک از پارامترهای مشخص مقادیر بهینه به دست آمد. در شکل 1 استانداردهای ساخته شده و نمونه های آماده برای آنالیز نشان داده شده اند.

یافته ها

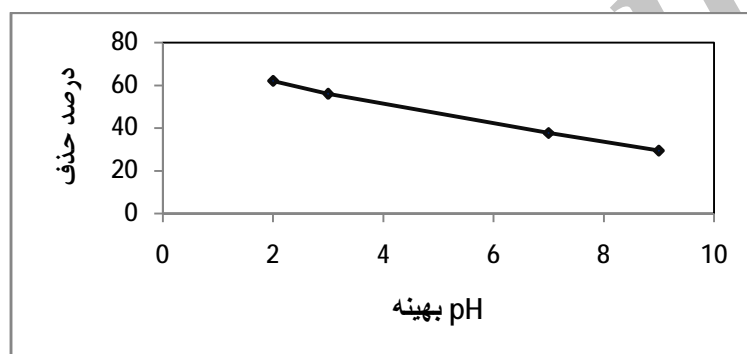
نتایج حاصل از این مطالعه در خصوص اثر pH محیط آبی در راندمان حذف فنل توسط پرشتر مرغ، اثر زمان تماس در میزان حذف فنل، تأثیر دما، نهایتاً اثر مقدار پرشتر مرغ و نهایتاً تأثیر غلظت اولیه فنل در میزان کارایی سیستم در حذف فنل به ترتیب در نمودارهای 1 تا 4 نمایش داده شده است.

تأثیر pH اولیه بر روی کارایی حذف: در خصوص تعیین pH بهینه، محلول های مورد نظر با pH های اولیه (2 ، 3 ، 7 ، 9) از محلول استوک ساخته شد. سپس نمونه های مورد نظر در غلظت ثابت فنل 15 mg/L و مقدار جاذب 0.05 g به مدت 8 ساعت مخلوط شد و در نهایت غلظت باقیمانده فنل به روش اسپکترو فوتومتری تعیین شد. همان گونه که مشاهده می شود با افزایش pH کارایی حذف کاهش می یابد. بطوری که در $\text{pH}=2$ میزان حذف فنل در حدود 62 درصد بوده و در $\text{pH}=9$ میزان حذف به 29.5% درصد کاهش می یابد.

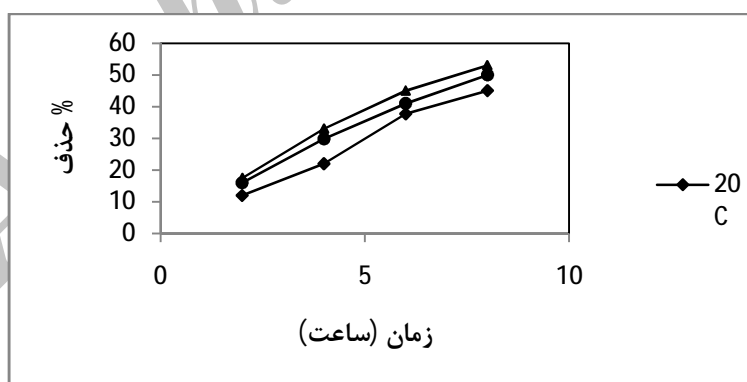
تأثیر دما بر میزان حذف فنل: تأثیر دما بر روی کارایی حذف در سیستم مورد مطالعه در شرایط بکسان ($\text{pH}=2$)، غلظت اولیه فنل 15 mg/L ، زمان 2 تا 8 ساعت و غلظت جاذب 0.05 g بررسی گردید. نمودار 2 تأثیر دما را بر کارایی حذف فنل نشان می دهد. مطابق نتایج به دست



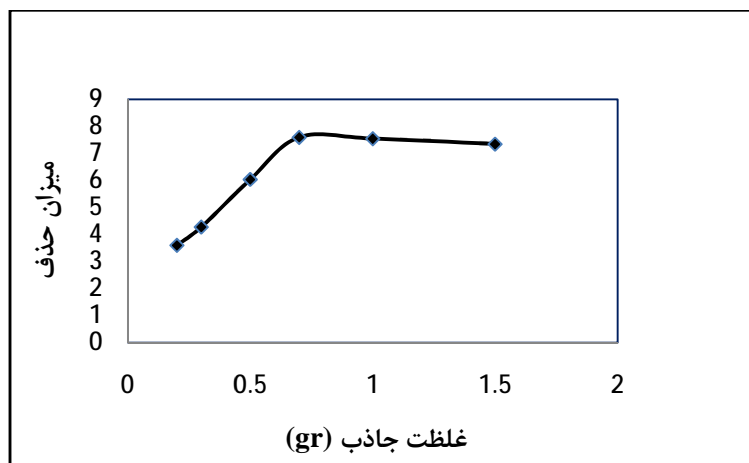
شکل ۱: استانداردهای ساخته شده در غلظت‌های ذکر شده و نمونه‌های ساخته شده برای آنالیز در دستگاه انکوباتور (راست به چپ)



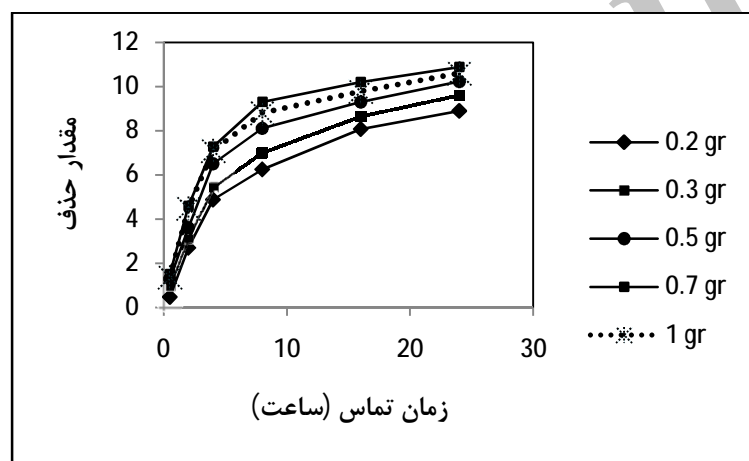
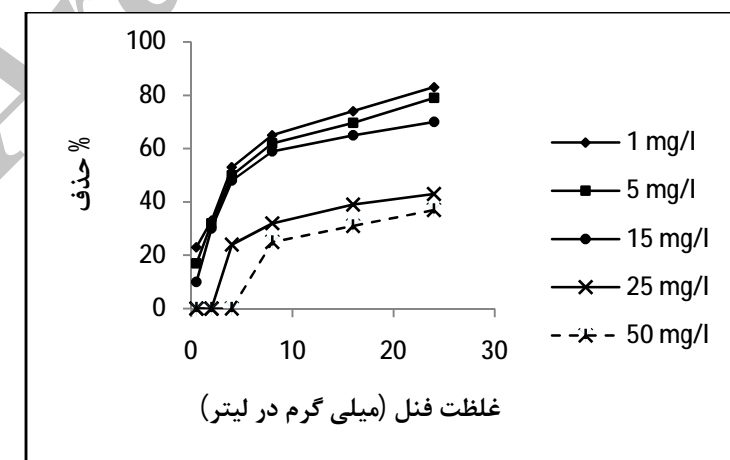
نمودار ۱: اثر pH در حذف فنل توسط پر شترمرغ در غلظت اولیه فنل ۱۵ mg/L



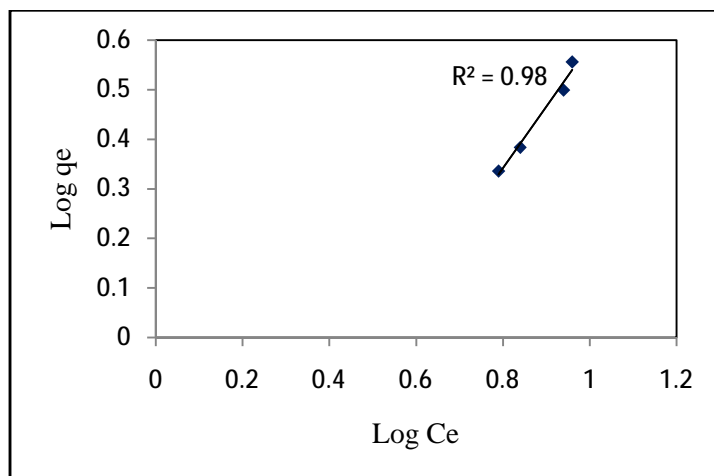
نمودار ۲: اثر دما در حذف فنل توسط پر شترمرغ



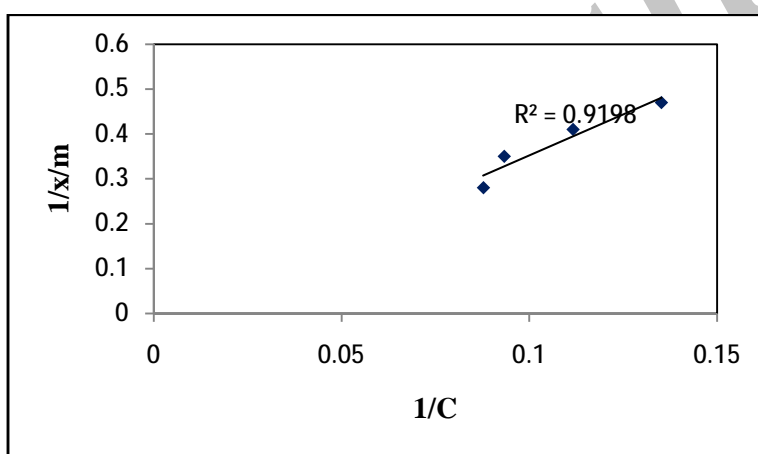
نمودار 3: اثر مقدار ماده جاذب در حذف فنل

نمودار 4: اثر زمان تماس در حذف فنل توسط پر شتر مرغ ($\text{pH}=2.15 \text{ mg/L}$ ، مقدار ۰/۲ تا ۱ گرم ماده جاذب)

نمودار 5: اثر غلظت اولیه فنل در حذف آن توسط پر شتر مرغ



نمودار 6: ایزوترم خطی جذب فروندلیش برای فنل توسط پر شترمرغ در دمای 30 °C



نمودار 7: ایزوترم خطی جذب لانگمیر برای جذب فنل توسط پر شترمرغ در دمای 30 °C

جدول 1: پارامترهای مدل ایزوترم جذب فروندلیچ و لانگمیر

نوع ایزوترم	مدل لانگمیر			مدل فروندلیش			پارامتر جذب
	R ²	b	Q ⁰	R ²	1/n	K	
پر شترمرغ	0.919	0.98	0.04	0.98	0.8	0.01	

بحث

دارد، زیرا pH بر روی شارژ الکتریکی سطح جاذب اثر گذاشته و درجه یونیزاسیون فنل را تغییر می‌دهد^(۹). طبق نتایج حاصل شده مقدار جذب فنل با افزایش pH کاهش می‌یابد. این امر ممکن است به دلیل نقش pH در یونیزاسیون فنل باشد. بخش یونی فنل (φions) توسط

در این تحقیق طبق نمودار 1 با ثابت نگه داشتن پارامترهایی همچون مقدار ماده جاذب، دما و غلظت فنل تأثیر اثر فنل بر روی کارایی حذف فنل بررسی شد. طبق تحقیق انجام شده مشخص شد که جذب فنل از محلول-های آبی در درجه اول واپستگی زیادی به pH محلول

نتیجه گیری

بر اساس نتایج به دست آمده در ارتباط با تأثیر افزایش مقدار ماده جاذب بر کارایی حذف فنل (نمودار ۳). مشخص شد که در غلظت $g/20$ حداقل مقدار حذف را دارد اما با افزایش مقدار ماده جاذب راندمان حذف افزایش چشمگیری را نشان می‌دهد به طوری که با مقدار جاذب $g/7$ میزان حذف افزایش می‌یابد و پس از آن راندمان حذف دچار کاهش می‌شود و به عبارتی با افزایش مقدار ماده جاذب به بیش از $g/7$ جذب فنل به محیط اتفاق می‌افتد. این کاهش جذب می‌تواند بعلت کمبود غلظت فنل در مقادیر بالاتر جاذب (از $g/7$ تا 2 g) باشد. در تحقیقات مشابه در زمینه حذف فنل مشاهده شده که با افزایش مقدار جاذب‌هایی مانند بتونیت اصلاح شده توسط دیانتی، سبوس برنج و کربن آن توسط ملکی، پر مرغ توسط فازی (Fawzi)، پوست بلوط توسط واژیز (Nagda) و برگ تندیو توسط ناگدا (Vazquez) درصد حذف فنل افزایش می‌یابد. همچنین در یک تحقیق مشابه که توسط میشرا (Mishra) برای حذف فنل بر روی کربن برگ انجام داد مشاهده شد که با افزایش مقدار ماده جاذب میزان حذف فنل کاهش می‌یابد (۵، ۸-۱۵). (۱۷)

همان‌طور که در نمودار ۴ مشاهده می‌شود راندمان حذف فنل در غلظت اولیه L/mg ۱۵ فنل و مقادیر متفاوت جاذب ($g/0.2-1$) در زمان تماس ۳۰ دقیقه در حداقل مقدار خود می‌باشد اما با افزایش زمان، راندمان حذف افزایش چشمگیری را نشان می‌دهد به طوری که در زمان تماس ۲۴ ساعت راندمان حذف فنل توسط پر شترمرغ در هر ۵ غلظت ماده جاذب به حداقل مقدار خود می‌رسد. در این زمینه نتایج مشابهی برای جذب فنل بر روی پر مرغ توسط فازی (Fawzi)، بر روی خاکستر زغال سنگ آفریقای جنوبی توسط پتگیتر (Potgieter) ارائه شده است (۵، ۸). (۱۸)

$$\text{رابطه زیر محاسبه می‌شود} (10): \text{pH} = \text{PKa} - \log[\frac{1}{1 + \phi_{ions}}]$$

مطابق فرمول بالا مشاهده می‌شود که ϕ_{ions} با افزایش pH ، افزایش می‌یابد و با توجه به این نکته که فنل یک اسید ضعیف می‌باشد در نتیجه به مقدار ناچیز در pH بالا تفکیک می‌شود (۱۱). همچنین در pH های پایین سطح جاذب دارای بار مثبت شده و در نتیجه در یک کشش قوی با یون‌های با بار منفی فنل قرار می‌گیرد. همچنین با افزایش pH به سمت خشی و قلیایی میزان دورت نمونه افزایش می‌یابد که این ممکن است بدلیل تجزیه برخی از اجزای آلی پر در نمونه باشد. نتایج مشابهی در این خصوص برای جذب فنل بر روی کربن فعال توسط هاللی (Halouli)، بر روی بتونیت توسط بنات (Banat)، بر روی خاکستر نیشکر توسط ویمال (Vimal) و بر کربن پوست گردو و پوست بادام توسط سعیدی ارائه شده است (۱۱-۱۳).

مطابق نتایج ارائه شده در نمودار ۲ مشاهده می‌شود که با افزایش دما کارایی جاذب بالا رفته و میزان حذف فنل افزایش می‌یابد. به طوری که با افزایش دما از 20°C به 30°C افزایش قابل ملاحظه‌ای در جذب فنل توسط پر شترمرغ مشاهده می‌شود و بعد از آن با افزایش دما تا 40°C کارایی پر در جذب کاهش می‌یابد. افزایش کارایی جذب با افزایش دما ممکن است بدلیل انسیاست جاذب و در نتیجه افزایش محله‌ای فعال بیشتر برای حذف فنلی که در تماس با آن است باشد. همچنین کاهش راندمان سیستم با افزایش بیشتر دما تا 40°C درجه سانتی‌گراد بدلیل افزایش حرکت و جنبش فنل و در نتیجه ضعیف شدن نیروی جذب بین جاذب و فنل شود. در تحقیقات مشابه‌ای که با پر ماکیان بر روی آلاینده‌ها انجام شده این موضوع به اثبات رسیده است. در این زمینه می‌توان به جذب زیستی فنل با استفاده از پر مرغ توسط فازی (Fawzi)، جذب رنگ ایندیگو کارمین با پر ماکیان توسط میتال (Mittal) و جذب سرب با پر مرغ توسط دی لا رزا (De la Rosa) اشاره نمود (۶، ۸، ۱۴).

سیستم جاذب پر شترمرغ در دمای ۳۰ ثابت درجه سانتی- گراد نشان می‌دهند.

شكل خطی ایزوترم لانگمیر نیز از رابطه زیر محاسبه می-

$$\text{شود} \quad (3) \quad \frac{1}{qe} = \frac{1}{Q^\circ} + \frac{1}{bQ^\circ} \frac{1}{Ce}$$

که در اینجا :

Q° و b = ثابت‌های ایزوترم‌های لانگمیر بر حسب L/mg و mg/g هستند که به ترتیب مربوط به حداکثر ظرفیت جذب و انرژی جذب هستند. مدل فروندلیش به صورت فیزیکی توصیف قابل اعتمادتری جهت جذب آلاینده‌ها بر روی مواد آلی ارائه می‌کند که این موضوع می‌تواند بدلیل حضور باندهای جذبی مختلف بر روی مواد آلی باشد(۱۹). داده‌های نمودارهای ۵ و ۶ نشان می- دهنند که رابطه فروندلیش به علت ضریب همبستگی بالای به دست آمده که برابر 98% می‌باشد نسبت به ایزوترم لانگمیر ($R^2=0.919$) جذب فنل بر روی پر شترمرغ را بهتر توصیف می‌کنند.

قدرتانی

نویسنده‌گان بر خود لازم می‌دانند تا از همکاری معاونت محترم پژوهشی دانشگاه علوم پزشکی البرز، مسؤولان محترم دانشکده بهداشت و کارشناسان آزمایشگاه شیمی آب و فاضلاب که ما را در انجام این تحقیق یاری داده‌اند، تشکر و قدردانی نمایند.

بر اساس نتایج مربوط به تأثیر غلظت اولیه فنل در نمودار ۵ مشاهده شد که با افزایش غلظت فنل میزان کارایی جذب کاهش می‌یابد. این به نظر می‌رسد که با افزایش غلظت فنل ظرفیت جذب جاذب بالا می‌رود که این امر ممکن است در نتیجه افزایش نیروی انتقال جرم و در نتیجه افزایش ظرفیت جذب باشد(۵، ۲۶). همچنین این به نظر می‌رسد که با افزایش غلظت فنل درصد حذف کاهش می‌یابد.

مدل‌های مختلفی برای توصیف داده‌های حاصل از آزمایشات جذب وجود دارد که مهمترین آنها ایزوترم‌های جذب است. تحلیل ایزوترم جذب به منظور دستیابی به یک معادله جهت نمایش دقیق نتایج و طراحی سیستم- های جذب بسیار مهم می‌باشد (۹).

شكل خطی ایزوترم فروندلیش به صورت رابطه زیر می- باشد(۲۰، ۹، ۱۰) :

$$\text{شکل خطی ایزوترم فروندلیش به صورت رابطه زیر می-} \\ \text{باشد(۲۰، ۹، ۱۰)}: \quad Log qe = Log K + \frac{1}{n} Log Ce \\ = qe \quad \text{مقدار جسم جذب شده به ازای جرم جاذب است} \\ (mg/mg)$$

$= Ce$ = غلظت تعادلی جسم جذب شونده (L) (mg/L) K و $n=1$ = ثابت‌های ایزوترم فروندلیش هستند که به ترتیب مربوط به ظرفیت جذب و شدت جاذب می‌باشند. نمودارهای ۵ و ۶ ایزوترم‌های جذب فروندلیش را بر

منابع

- 1-Yapar S, Ozbudak V, Dias A, Lopes A. Effect of adsorbent concentration to the adsorption of phenol on hexadecyl trimethyl ammonium-bentonite. J Hazard Mater 2005;121(1-3):135-9.
- 2-Bayramoglu G, Arica MY. Enzymatic removal of phenol and p-chlorophenol in enzyme reactor: horseradish peroxidase immobilized on magnetic beads. J Hazard Mater 2008; 156(1-3):148-55
- 3-Joyce TW. Design criteria for phenol treatment by plastic media trickling filter, ALCHE. Symposium Series 1997;39(17):123-31
- 4-Lin SH, Cheng MJ. Adsorption of phenol and m-cholorophenol on organobentonites and repeated thermal regeneration. Waste Manage 2002;22(6):595-603
- 5-Mittal A. Removal of the dye amaranth from wastewater using hen feathers as potential adsorbent. Elect J Environ Agri Food Chem 2006;5(2):129-35.
- 6-De la Rosa G, Reynel-Avila HE, Bonilla A, Martinez AL. Word Academy of Science. Eng Technol 2008;47:394-402.
- 7-Mittal A. Use of hen feathers as potential adsorbent for the removal of a hazardous dye, Brilliant Blue FCF, from wastewater. J Hazard Mater 2006; 128(2-3):233-9.
- 8-Banat FA, Al-Asheh S. Biosorption of phenol by chicken feathers. Environ Eng Policy 2000;2(2):85-90.
- 9-Mahvi AH, Maleki A, Eslami A. Potential of rice husk and rice husk ash for phenol removal in aqueous systems. Am J Appl Sci 2004;1(4):321-6.

- 10-Banat FA, Al-Bashir B, Al-Asheh S, Hayajneh O. Adsorption of phenol by bentonite. Env Pollut 2000; 107(3):391-8.
- 11-Khalid N, Ahmad S, Toheed A, Ahmad J. Potential of rice husks for antimony removal. Appl Radiat Isot 2000;52(1):31-8.
- 12-Halhouli KA, Drawish NA, Al-Dhoon Naser M. . Effects of pH and inorganic salt on the adsorption of phenol from aqueous systems on activated decolorizing charcoal. Separ Sci Technol 1995;30(17):181-90.
- 13-Vimal C, Srivastava S, Mahadeva M, Indra D, Basheswar Prasadm Indra M, Mishra S. Adsorptive removal of phenol by bagasse fly ash and activated carbon: Equilibrium, kinetics and thermodynamics. J Coll Surf 2006;5(2):89-104.
- 14-Mittal A, Mittal J, Kurup L. Utilization of hen feathers for the adsorption of Indigo Carmine from simulated effluents. J Environ Prot Sci 2007;146:92-100.
- 15-Vazquez G, Gonzalez J, Freire M, Calvo M, Antorrena G. Determination of the optimal conditions for the adsorption of cadmium ions and phenol on chestnut (*castanea sativa*) shell. Globa NEST J 2009;11(2):196-204.
- 16-Nagda GK, Diwan AM, Ghole VS. Potential of tendu leaf refuse for phenol removal in aqueous systems Appl Ecol Environ Res 2007;5(2):1-19.
- 17-Mishra S, Bhattacharya J. Batch studies on phenol removal using leaf activated carbin. Malaysian J Chem 2007;9(1):1-15.
- 18-Potgieter JH, Bada SO. Potgieter SS. Adsorptive removal of various phenols from water by South African coal fly ash. Water SA 2009;35 (1):89-96.
- 19-Aksu A, Açıkel U, Kabasakal E, Tezer S. Equilibrium modeling of individual and simultaneous biosorption of chromium (VI) and nickel (II) onto dried activated sludge. Water Res 2002;36(12):3063-73.
- 20-Rengaraj S, Moon SH, Sivabalan R, Arabindoo B, Murugesan V. Agricultural solid waste for the removal of organics: adsorption of phenol from water and wastewater by palm seed coat activated carbon. Waste Manage 2002;22 (5):543-8.

Determining the Optimum Parameters of Phenol Removal from Industrial Effluents by Using Ostrich Feathers

Mohammad Manshouri¹, Ahmad Reza Yazdanbakhsh², Hasti Daraei^{3*}

1-Assistant Professor of Environmental Health.

2-Associated Professor of Environmental Health.

3-MSc of Environmental Health Engineering.

1-Department of Environmental Health Engineering, Faculty of Health, Shahid Beheshti University of Medical Sciences, Tehran, Iran.

2,3-Department of Environmental Health Engineering, Faculty of Health, Shahid Beheshti University of Medical Sciences, Tehran, Iran.

Abstract

Backgrounds and Objectives: Phenol is one of the organic pollutants that is found in industrial effluents and is very toxic for human and environment. This study proposes the use of ostrich feathers as a natural source of active amino acids to remove phenol from aqueous solution.

Materials and Methods: For this study, ostrich feather has been used as a synthetic adsorbent in removal of phenol in different doses 0.2, 0.3, 0.5, 0.7, 1, 1.5 g/100 ml. Besides, the effects of changing contact time, pH, adsorbent dose and temperature has been determined. Description of adsorption Freundlich isotherm has also been accomplished and Excel software for analyzing the data was used.

Results: The result obtained revealed that by increasing the dosage of the sorbent from 0.2 g to 0.7 g the adsorption increases. The adsorption of phenol decreases by the increase of the pH value of the solution. In addition, it is observed that the contact time significantly affect the rate of phenol adsorption (70%) from solution.

Conclusion: Generally, the adsorbent was applied successfully for treating industrial water samples and aqueous solution.

Keyword: amino acids, ostrich feather, adsorbent, phenol.

► Please cite this paper as:

Manshouri M, Yazdanbakhsh AR, Daraei H. Determine the Optimum Parameters of Phenol Removal from Industrial Effluents by Using Ostrich Feathers. Jundishapur Sci Med J 2012;11(5):457-466

Received: Oct 10, 2010

Revised: Jan 16, 2012

Accepted: Jan 21, 2012